

骨碎补的木脂素和黄酮类成分研究

梁永红, 叶 敏*, 韩 健, 王宝荣, 果德安*

北京大学药学院 天然药物与仿生药物国家重点实验室, 北京 100191

摘要: 目的 研究骨碎补 *Drynaria fortunei* 的化学成分。方法 采用硅胶、ODS、Sephadex LH-20 柱色谱及半制备液相色谱等技术分离纯化, 根据理化性质及波谱数据鉴定化合物的结构。结果 从骨碎补中分离得到 14 个化合物, 包括 3 个木脂素类(1~3)和 8 个黄酮类化合物(4~11), 其结构经¹H-NMR、¹³C-NMR、2D-NMR、ESI-MS 等波谱学方法分别鉴定为 (7'R,8'S)-二氢脱氢二松柏基醇 4'-O-β-D-葡萄糖苷(1)、落叶松脂素 4'-O-β-D-吡喃葡萄糖苷(2)、(-)-secoisolariciresinol 4-O-β-D-glucopyranoside(3)、北美圣草素(4)、eriodictyol 7-O-β-D-glucopyranoside(5)、新北美圣草苷(6)、柚皮苷(7)、木犀草素(8)、木犀草素 7-O-β-D-葡萄糖苷(9)、木犀草素 8-C-β-D-葡萄糖苷(10)、2',4'-二羟基二氢查耳酮(11)、麦芽酚 3-O-β-D-葡萄糖苷(12)、β-谷甾醇(13)、β-胡萝卜苷(14)。结论 化合物 1~3、11 为首次从水龙骨科植物中分离得到, 化合物 5、8~10 为首次从槲蕨属植物中分离得到, 并发现化合物 1 在常温下存在旋转异构现象。

关键词: 骨碎补; 木脂素; 黄酮; 旋转异构; 落叶松脂素 4'-O-β-D-吡喃葡萄糖苷

中图分类号: R284.1 文献标志码: A 文章编号: 0253 - 2670(2011)01 - 0025 - 06

Lignans and flavonoids from rhizome of *Drynaria fortunei*

LIANG Yong-hong, YE Min, HAN Jian, WANG Bao-rong, GUO De-an

State Key Laboratory of Natural and Biomimetic Drugs, School of Pharmaceutical Sciences, Peking University, Beijing 100191, China

Abstract: Objective To study the chemical constituents from the rhizome of *Drynaria fortunei*. Methods Silica gel, ODS, Sephadex LH-20 column chromatography, and semi-preparative HPLC were used to isolate pure compounds. The compounds were identified on the basis of their physicochemical properties and spectroscopic data. Results Fourteen compounds were isolated from the rhizome of *D. fortunei*, including three lignans (1—3) and eight flavonoids (4—11). By spectroscopic techniques, such as ¹H-NMR, ¹³C-NMR, and ESI-MS, these compounds were identified as (7'R,8'S)-dihydrodehydrodiconiferyl alcohol 4'-O-β-D-glucopyranoside (1), lariciresinol 4'-O-β-D-glucopyranoside (2), (-)-secoisolariciresinol 4-O-β-D-glucopyranoside (3), eriodictyol (4), eriodictyol 7-O-β-D-glucopyranoside (5), neoeriocitrin (6), naringin (7), luteolin (8), luteolin 7-O-β-D-glucopyranoside (9), luteolin 8-C-β-D-glucopyranoside (10), 2',4'-dihydroxydihydrochalcone (11), maltol 3-O-β-D-glucopyranoside (12), β-sitosterol (13), and daucosterol (14). Conclusion Compounds 1—3, and 11 are isolated from the plants in Polypodiaceae family for the first time, and compounds 5 and 8—10 are isolated from the plants of *Drynaria* (Bory) J. Sm. for the first time. Compound 1 is present as rotamers at room temperature.

Key words: the rhizome of *Drynaria fortunei* (Kunze) J. Sm.; lignans; flavonoids; rotamer; lariciresinol 4'-O-β-D-glucopyranoside

骨碎补为水龙骨科槲蕨属植物槲蕨 *Drynaria fortunei* (Kunze) J. Sm. 的干燥根茎, 味苦, 性温, 入肝、肾二经, 具有补肾强骨、续伤止痛的功效^[1]。现代药理研究表明, 槲蕨具有促进骨折损伤愈合和防治骨质疏松的作用^[2-5]。迄今从槲蕨中得到的化合物主要有三萜类^[6]、黄酮类^[5,7-10]及苯丙素类化合物^[11]。为了进一步阐明其药效物质基础, 并为其质

量控制提供依据, 本实验对骨碎补的化学成分进行了进一步的研究, 从骨碎补的 70%乙醇提取物中分离得到 14 个化合物, 经核磁和质谱等方法分别鉴定为 (7'R,8'S)-二氢脱氢二松柏基醇 4'-O-β-D-葡萄糖苷(1)、落叶松脂素 4'-O-β-D-吡喃葡萄糖苷(2)、(-)-secoisolariciresinol 4-O-β-D-glucopyranoside(3)、北美圣草素(4)、eriodictyol 7-O-β-D-glucopyranoside

收稿日期: 2010-03-15

基金项目: 教育部创新团队计划 (985-2-063-112); 北京大学医学部 985 项目 (985-2-119-121)

作者简介: 梁永红 (1975—), 男, 苗族, 湖北省利川市人, 北京大学药学院博士研究生。E-mail: liangli4@126.com

*通讯作者 叶 敏 Tel: (010) 82801516 E-mail: yemin@bjmu.edu.cn

果德安 Tel: (010) 82801516 E-mail: gda@bjmu.edu.cn

(5)、新北美圣草昔(6)、柚皮昔(7)、木犀草素(8)、木犀草素 7-O- β -D-葡萄糖昔(9)、木犀草素 8-C- β -D-葡萄糖昔(10)、2',4'-二羟基二氢查耳酮(11)、麦芽酚 3-O- β -D-葡萄糖昔(12)、 β -谷甾醇(13)、 β -胡萝卜昔(14)。化合物 1~3、11 为首次从水龙骨科植物中分离得到, 其中化合物 1 具有旋光异构现象; 化合物 5、8~10 为首次从槲蕨属植物中分离得到。

1 仪器、试剂及材料

Thermo Finnigan LCQ Advantage 质谱仪; Bruker Avance III 400、INOVA—500 及 Varian VNS 600 型核磁共振仪 (TMS 作内标); Perkin—Elmer 243B polarimeter 型旋光仪; Semi-HPLC 用 Alltech 公司 Alltech 426 HPLC Pump 和 LINEAR UVis 200 Dectector, 半制备色谱柱为 Agilent Zorbax SB-C₁₈ 色谱柱 (250 mm×9.4 mm, 5 μ m)。

柱色谱用硅胶 (100~200 目, 200~300 目) 及薄层色谱用硅胶 (GF₂₅₄) 购自青岛海洋化工厂; Sephadex LH-20 (25~100 μ m) 为 Pharmacia 公司产品; ODS (40~75 μ m) 为 YMC 产品; 柱色谱用聚酰胺 (60~90 目) 购自江苏临江试剂化工厂; 大孔树脂 (HP-20) 购自北京慧德易科技有限公司; 常规试剂均为分析纯, 购自北京化工厂。

骨碎补药材购自中国药材集团公司, 由北京大学药学院果德安教授鉴定为水龙骨科槲蕨属植物槲蕨 *Drynaria fortunei* (Kunze) J. Sm. 的干燥根茎, 样品标本保存于北京大学药学院生药学学生物技术研究室。

2 提取与分离

骨碎补药材 12 kg, 粉碎成粗粉后用 70%乙醇回流提取 3 次, 每次 2 h, 合并提取液, 减压回收溶剂得到浸膏 2.98 kg, 浸膏用水分散, 依次用石油醚、醋酸乙酯、水饱和正丁醇萃取, 得到醋酸乙酯萃取物 121 g, 正丁醇萃取物 224 g。取正丁醇萃取物 (224 g) 经 HP-20 大孔吸附树脂柱色谱, 以乙醇-水 (0: 100→95: 5) 梯度洗脱得到 6 个部分。50%乙醇洗脱部分经聚酰胺柱色谱, 以乙醇-水梯度洗脱, 得到 7 个部分, 第 2 部分经反复 ODS 柱色谱 (甲醇-水)、半制备液相 (乙腈-水, 8: 92, 2 mL/min) 纯化得到化合物 1 (11.5 mg)、2 (5.5 mg)、3 (18 mg); 第 7 部分经反复 ODS 柱色谱 (甲醇-水)、半制备液相 (乙腈-水, 14: 86, 2 mL/min) 纯化得到化合物 6 (12 mg)、7 (13 mg); 将 10%乙醇洗脱部分经反

复 ODS 柱色谱 (甲醇-水)、半制备液相 (甲醇-水, 5: 95, 2 mL/min) 纯化得到化合物 12 (11.5 mg)。取醋酸乙酯萃取物 (121 g) 经硅胶柱色谱, 以氯仿-甲醇 (5: 95→50: 50) 梯度洗脱, 得到 10 个部分, 第 1 部分经反复硅胶柱色谱, 以氯仿-甲醇 (5: 95) 洗脱得到化合物 13 (16 mg); 第 5 部分经反复硅胶柱色谱, 以氯仿-甲醇 (10: 90) 洗脱得到化合物 14 (32 mg); 第 2 和 8 部分经反复 ODS、Sephadex LH-20 柱色谱及半制备液相等方法 (洗脱剂系统为甲醇-水), 分离纯化后得到化合物 4 (6 mg)、5 (12 mg)、8 (5 mg)、9 (18 mg)、10 (20 mg)、11 (6 mg)。

3 结构鉴定

化合物 1: 浅黄色无定形粉末 (甲醇), $[\alpha]_D^{20}$ -27.5° (*c* 0.20, MeOH), ESI-MS 在 *m/z* 521 处显示 [M-H]⁻ 峰, 在 *m/z* 359 处出现 [M-H-162]⁻ 峰, 提示分子中含一个六碳糖。¹H-NMR (500 MHz, DMSO-*d*₆) δ : 6.68 (1H, br s, H-2), 6.68 (1H, br s, H-6), 2.48~2.53 (2H, m, H-7), 1.66~1.70 (2H, m, H-8), 3.39~3.42 (2H, m, H-9), 6.96 (1H, d, *J* = 1.5 Hz, H-2'), 7.05 (1H, d, *J* = 7.5 Hz, H-5'), 6.84 (1H, dd, *J* = 1.5, 7.5 Hz), 5.46 (1H, dd, *J* = 2.0, 6.5 Hz, H-7'), 3.39~3.42 (1H, overlap, H-8'), 3.60~3.63 (1H, m, H-9'), 3.69~3.71 (1H, m, H-9'), 3.77 (3H, s, MeO-3), 3.73 (3H, d, MeO-3'), 4.87 (1H, d, H-1"), 3.20~3.23 (1H, m, H-2"), 3.23~3.25 (1H, overlap, H-3"), 3.23~3.27 (1H, overlap, H-5"), 3.10~3.15 (1H, m, H-4"), 3.63~3.65 (1H, m, H-6"), 3.40~3.43 (1H, overlap, H-6"); ¹³C-NMR (125 MHz, DMSO-*d*₆) δ : 135.1 (C-1), 112.4 (C-2), 143.3 (C-3), 145.4 (C-4), 128.7 (C-5), 116.4 (C-6), 31.4 (C-7), 34.6 (C-8), 60.1 (C-9), 135.4 (C-1'), 110.3 (C-2'), 148.9 (C-3'), 146.1 (C-4'), 115.3 (C-5'), 117.9 (C-6'), 86.4 (C-7'), 53.4 (C-8'), 63.0 (C-9'), 55.6 (MeO-3), 55.7 (MeO-3'), 100.0 (C-1"), 73.1 (C-2"), 76.9 (C-3"), 69.6 (C-4"), 76.8 (C-5"), 60.6 (C-6")。以上数据与文献对照^[12], 确定化合物 1 的结构为 (7'R,8'S)-二氢脱氢二松柏基醇 4'-O- β -D-葡萄糖昔。其 ¹H-NMR、¹³C-NMR 数据根据 COSY、HSQC 及 HMBC 等二维核磁共振谱予以全部归属。

化合物 1 的 ¹³C-NMR 及 ¹H-NMR 信号在常温 (20 °C) 下测定有裂分现象。以下 6 个碳信号 (δ 146.1, 128.7, 117.9, 115.3, 110.3, 53.4) 均裂分为二重峰, 如图 1 所示; ¹H-NMR 中, δ 3.73 (3H, d, *J* = 2 Hz)

处的甲氧基信号裂分为二重峰，如图2所示。化合物**1**经HPLC检测其质量分数>98%，因此初步推测可能存在旋转异构现象。于是在核磁测定中进行升温实验以观察其¹³C-NMR和¹H-NMR谱的变化。结果显示，在80℃测定时，¹³C-NMR中先前发生裂分的6个碳信号都合并成相应的单峰（δ 146.2, 128.7, 117.8, 116.3, 111.4, 53.0），其代表性峰如图2所示；¹H-NMR中先前发生裂分的甲氧基二重峰合并成了单峰δ 3.78 (3H, s)，而先前含2个质子的单峰δ 6.68 (2H, s)裂分成了2个宽单峰δ 6.90 (1H, s), δ 6.68 (1H, s)，其代表性峰变化如图2所示。因此确定该化合物在常温状态下存在旋转异构现象。文献曾报道其他木脂素类化合物存在此类现象^[13]。

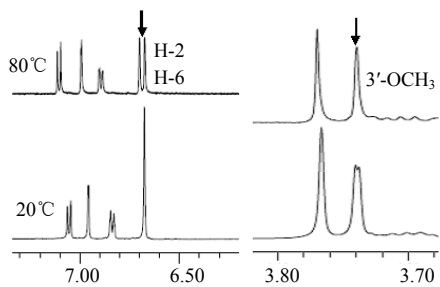


图1 化合物**1**在20 °C和80 °C时的部分氢谱

Fig. 1 ¹H-NMR spectra of compound **1** at 20 °C and 80 °C

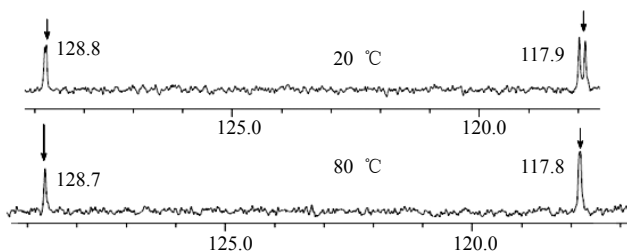


图2 化合物**1**在20 °C和80 °C时的部分碳谱

Fig. 2 ¹³C-NMR spectra of compound **1** at 20 °C and 80 °C

化合物2：白色粉末(甲醇)，ESI-MS在m/z 521处显示[M-H]⁻峰，在m/z 359处给出[M-H-162]⁻峰，提示分子中含有一个六碳糖，结合¹H-NMR、¹³C-NMR确定其分子式为C₂₆H₃₄O₁₁。¹H-NMR(500 MHz, DMSO-d₆) δ: 6.97 (1H, d, J = 1.8 Hz, H-2), 3.82 (3H, s, 3-OCH₃), 6.70 (1H, d, J = 8.2 Hz, H-5), 6.87 (1H, dd, J = 2.0, 8.0 Hz, H-6), 4.82 (1H, d, J = 6.5 Hz, H-7), 2.31~2.36 (1H, m, H-8), 3.82~3.86 (1H, overlap, H-9), 3.62~3.65 (1H, overlap, H-9), 6.78 (1H, d, J = 2.0 Hz, H-2'), 3.85 (3H, s, 3'-OCH₃), 7.12 (1H, d, J = 8.0 Hz, H-5'), 6.63 (1H, dd, J = 2.0,

8.0 Hz, H-6'), 2.91 (1H, dd, J = 5, 13.5 Hz, Ha-7'), 2.50 (1H, dd, J = 11.5, 13.5 Hz, Hb-7'), 2.66~2.74 (1H, m, H-8'), 3.99 (1H, dd, J = 6.5, 8.5 Hz, H-9a'), 3.73 (1H, dd, J = 6.5, 8.5 Hz, H-9b'), 4.86 (1H, d, J = 7.5 Hz, H-1''), 3.43~3.45 (1H, overlap, H-2''), 3.41~3.44 (1H, overlap, H-3''), 3.37~3.41 (1H, overlap, H-4''), 3.37~3.41 (1H, overlap, H-4''), 3.82~3.86 (1H, overlap, H-6''), 3.65~3.69 (1H, overlap); ¹³C-NMR (125 MHz, DMSO-d₆) δ: 134.0 (C-1), 111.9 (C-2), 149.5 (C-3), 56.9 (MeO-3), 147.8 (C-4), 116.7 (C-5), 120.1 (C-6), 84.4 (C-7), 54.6 (C-8), 61.0 (C-9), 140.9 (C-1'), 114.0 (C-2'), 151.4 (C-3'), 57.3 (MeO-3'), 146.4 (C-4'), 118.5 (C-5'), 122.7 (C-6'), 33.1 (C-7'), 44.3 (C-8'), 74.2 (C-9'), 103.5 (C-1''), 75.5 (C-2''), 78.4 (C-3''), 71.9 (C-4''), 78.7 (C-5''), 63.1 (C-6'')。

以上数据与文献报道基本一致^[14]，故鉴定化合物**2**为落叶松脂素4'-O-β-D-吡喃葡萄糖苷。

化合物3：白色片状结晶(甲醇)，ESI-MS在m/z 523处显示[M-H]⁻峰，在m/z 361处给出[M-H-162]⁻峰，提示分子中含有一个六碳糖，结合¹H-NMR、¹³C-NMR确定其分子式为C₂₆H₃₆O₁₁。¹H-NMR (400 MHz, DMSO-d₆) δ: 6.68 (1H, d, J = 1.2 Hz, H-2), 6.95 (1H, d, J = 8.0 Hz, H-5), 6.62 (1H, dd, J = 1.2, 8.0 Hz, H-6), 2.47~2.57 (2H, overlap, H-7), 1.82~1.85 (1H, m, H-8), 3.30~3.40 (2H, overlap, H-9), 3.68 (3H, s, 3-OCH₃), 6.62 (1H, d, J = 1.2 Hz, H-2'), 6.63 (1H, d, J = 8.0 Hz, H-5'), 6.51 (1H, dd, J = 1.2, 8.0 Hz, H-6'), 2.47~2.57 (2H, overlap, H-7'), 1.82~1.85 (1H, m, H-8'), 3.30~3.40 (2H, overlap, H-9'), 3.68 (3H, s, 3'-OCH₃), 4.83 (1H, d, J = 7.2 Hz, H-1''), 3.20~3.25 (3H, overlap, H-2'', 3'', 5''), 3.12~3.18 (1H, m, H-4''), 3.62~3.64 (1H, m, H-6''), 3.41~3.47 (1H, m, H-6''); ¹³C-NMR (100 MHz, DMSO-d₆) δ: 135.2 (C-1), 113.1 (C-2), 148.6 (C-3), 144.6 (C-4), 115.1 (C-5), 121.1 (C-6), 33.8 (C-7), 42.5 (C-8), 60.2 (C-9), 55.5 (3-OCH₃), 132.2 (C-1'), 112.9 (C-2'), 147.2 (C-3'), 144.3 (C-4'), 115.1 (C-5'), 120.9 (C-6'), 33.8 (C-7'), 42.4 (C-8'), 60.2 (C-9'), 55.5 (3'-OCH₃), 100.0 (C-1''), 73.2 (C-2''), 76.9 (C-3''), 69.7 (C-4''), 77.0 (C-5''), 60.7 (C-6'')。

以上数据与文献报道基本一致^[15]，故鉴定化合物**3**为(-)-secoisolariciresinol 4-O-β-D-glucopyranoside。

化合物4：黄色无定形粉末(甲醇)，ESI-MS

在 m/z 287 处给出 $[M-H]^-$ 峰, 结合 1H -NMR、 ^{13}C -NMR 确定其分子式为 $C_{15}H_{12}O_6$ 。 1H -NMR (600 MHz, DMSO- d_6) δ : 12.17 (1H, s, 5-OH), 10.77 (1H, br s, 7-OH), 9.06 (1H, s, 4'-OH), 9.01 (1H, s, 3'-OH), 6.87 (1H, br s, H-2'), 6.74 (2H, m, H-5', 6'), 5.88 (1H, d, $J=2.4$ Hz, H-6), 5.85 (1H, d, $J=2.4$ Hz, H-8), 5.36 (1H, dd, $J=3.0, 12.6$ Hz, H-2), 3.18 (1H, dd, $J=12.6, 17.4$ Hz, H_a-3), 2.63 (1H, dd, $J=3.0, 17.4$ Hz, H_b-3); ^{13}C -NMR (150 MHz, DMSO- d_6) δ : 78.4 (C-2), 42.1 (C-3), 196.3 (C-4), 163.4 (C-5), 94.9 (C-6), 166.6 (C-7), 95.7 (C-8), 162.9 (C-9), 101.8 (C-10), 129.4 (C-1'), 114.3 (C-2'), 145.7 (C-3'), 145.2 (C-4'), 115.3 (C-5'), 117.9 (C-6')。以上数据与文献报道基本一致^[16-17], 故鉴定化合物 4 为北美圣草素。

化合物 5: 浅黄色无定形粉末(甲醇); ESI-MS 在 m/z 449 处给出 $[M-H]^-$ 峰, 在 m/z 287 处给出 $[M-H-162]^-$ 峰, 提示分子中含有一个六碳糖, 结合 1H -NMR、 ^{13}C -NMR 确定其分子式为 $C_{21}H_{22}O_{11}$ 。 1H -NMR (400 MHz, DMSO- d_6) δ : 12.07 (1H, s, 5-OH), 9.07 (1H, br s, 4'-OH), 6.88 (1H, s, H-2'), 6.74~6.75 (2H, overlap, H-5', 6'), 6.15 (1H, d, $J=2.4$ Hz, H-8), 6.13 (1H, d, $J=2.4$ Hz, H-6), 5.43 (1H, dd, $J=3.6, 12.8$ Hz, H-2), 3.25~3.28 (1H, overlap, H_a-3), 2.69~2.76 (1H, m, H_b-3), 4.98 (1H, d, $J=7.6$ Hz, H-1"), 3.14~3.68 (6H, Sugar-H); ^{13}C -NMR (100 MHz, DMSO- d_6) δ : 78.7 (C-2), 42.2 (C-3), 197.2 (C-4), 162.9 (C-5), 96.4 (C-6), 165.2 (C-7), 95.4 (C-8), 162.7 (C-9), 103.3 (C-10), 129.2 (C-1'), 114.4 (C-2'), 145.8 (C-3'), 145.2 (C-4'), 115.3 (C-5'), 118.1 (C-6'), 99.6 (C-1"), 73.0 (C-2"), 76.3 (C-3"), 69.5 (C-4"), 77.1 (C-5"), 60.6 (C-6")。以上数据与文献报道基本一致^[18], 鉴定化合物 5 为 eriodictyol 7-O- β -D-glucopyranoside。

化合物 6: 浅黄色针晶(甲醇), ESI-MS 在 m/z 595 处给出 $[M-H]^-$ 峰, 结合 1H -NMR、 ^{13}C -NMR 确定其分子式为 $C_{27}H_{32}O_{15}$ 。 1H -NMR (600 MHz, DMSO- d_6) δ : 6.78~6.88 (3H, overlap, H-2', 5', 6'), 6.10 (1H, d, $J=1.8$ Hz, H-8), 6.08 (1H, d, $J=1.8$ Hz, H-6), 5.41 (1H, dd, $J=2.5, 12.6$ Hz), 5.14 (1H, d, $J=7.8$ Hz, Glc-C-1), 5.10 (1H, d, $J=1.6$ Hz, Rha-C-1), 3.16~3.72 (10H, Sugar-H), 2.69~2.77 (2H, m, H-3), 1.15 (3H, d, $J=6.0$ Hz); ^{13}C -NMR (150 MHz, DMSO- d_6) δ : 79.1 (C-2), 42.7 (C-3), 197.7 (C-4),

163.4 (C-5), 96.7 (C-6), 165.2 (C-7), 95.6 (C-8), 163.4 (C-9), 103.8 (C-10), 129.7 (C-1'), 114.9 (C-2'), 145.7 (C-3'), 146.3 (C-4'), 115.9 (C-5'), 118.6 (C-6'), 97.8 (Glc-C-1), 79.2 (Glc-C-2), 77.5 (Glc-C-3), 70.9 (Glc-C-4), 76.6 (Glc-C-5), 60.9 (Glc-C-6), 100.9 (Rha-C-1), 70.9 (Rha-C-2), 70.1 (Rha-C-3), 72.3 (Rha-C-4), 68.8 (Rha-C-5), 18.6 (Rha-C-6)。以上数据与文献报道基本一致^[8], 故鉴定化合物 6 为新北美圣草昔。

化合物 7: 浅黄色粉末(甲醇), ESI-MS 在 m/z 579 处给出 $[M-H]^-$ 峰, 结合 1H -NMR、 ^{13}C -NMR 确定其分子式为 $C_{27}H_{32}O_{14}$ 。 1H -NMR (400 MHz, DMSO- d_6) δ : 7.32 (2H, d, $J=8.8$ Hz, H-2', 6'), 6.79 (2H, d, $J=8.8$ Hz, H-3', 5'), 6.10 (1H, d, $J=2.4$ Hz, H-8), 6.08 (1H, d, $J=2.4$ Hz, H-6), 5.47 (1H, dd, $J=2.8, 12.6$ Hz, H-2), 5.14 (1H, d, $J=1.6$ Hz, Rha-C-1), 5.09 (1H, d, $J=8$ Hz, Glc-C-1), 3.10~3.71 (10H, Sugar-H), 2.67~2.75 (2H, m, H-3), 1.13~1.15 (3H, m, H-3); ^{13}C -NMR (100 MHz, DMSO- d_6) δ : 78.8 (C-2), 42.8 (C-3), 197.3 (C-4), 162.9 (C-5), 96.3 (C-6), 164.7 (C-7), 95.1 (C-8), 162.7 (C-9), 103.3 (C-10), 128.6 (C-1'), 128.5 (C-2', 6'), 157.8 (C-4'), 115.2 (C-3', 5'), 100.3 (Glc-C-1), 77.1 (Glc-C-2), 76.8 (Glc-C-3), 69.5 (Glc-C-4), 76.1 (Glc-C-5), 60.4 (Glc-C-6), 97.3 (Rha-C-1), 70.4 (Rha-C-2), 70.3 (Rha-C-3), 71.8 (Rha-C-4), 68.2 (Rha-C-5), 18.0 (Rha-C-6)。以上数据与文献报道基本一致^[5], 故鉴定化合物 7 为柚皮苷。

化合物 8: 浅黄色无定形粉末(甲醇), ESI-MS 在 m/z 285 处给出 $[M-H]^-$ 峰, 结合 1H -NMR、 ^{13}C -NMR 确定其分子式为 $C_{15}H_{10}O_6$ 。 1H -NMR (600 MHz, DMSO- d_6) δ : 12.97 (1H, s, 5-OH), 10.79 (1H, br s, 7-OH), 7.44 (1H, dd, $J=2.4, 8.4$ Hz, H-6'), 7.40 (1H, d, $J=2.4$ Hz, H-2'), 6.88 (1H, d, $J=8.4$ Hz, H-5'), 6.67 (1H, s, H-3), 6.44 (1H, d, $J=2.4$ Hz, H-8), 6.19 (1H, d, $J=2.4$ Hz, H-6); ^{13}C -NMR (150 MHz, DMSO- d_6) δ : 163.9 (C-2), 102.8 (C-3), 181.6 (C-4), 157.3 (C-5), 98.8 (C-6), 164.1 (C-7), 93.8 (C-8), 161.4 (C-9), 103.7 (C-10), 121.5 (C-1'), 113.3 (C-2'), 145.7 (C-3'), 149.7 (C-4'), 116.0 (C-5'), 119.0 (C-6')。以上数据与文献报道基本一致^[19], 故鉴定化合物 8 为木犀草素。

化合物 9: 黄色无定形粉末(甲醇), ESI-MS

在 m/z 447 处给出 $[M-H]^-$ 峰, 在 m/z 285 处给出 $[M-H-162]^-$ 峰, 提示分子中含有一个六碳糖, 结合 1H -NMR、 ^{13}C -NMR 确定其分子式为 $C_{21}H_{20}O_{11}$ 。 1H -NMR (400 MHz, DMSO- d_6) δ : 7.43 (1H, dd, $J=2.0, 8.0$ Hz, H-6'), 7.41 (1H, d, $J=2.0$ Hz, H-2'), 6.87 (1H, d, $J=8.0$ Hz, H-5'), 6.77 (1H, d, $J=2.0$ Hz, H-8), 6.43 (1H, d, $J=28.0$ Hz, H-6), 6.73 (1H, s, H-3), 5.07 (1H, d, $J=8.4$ Hz, H-1''), 3.14~3.72 (6H, Sugar-H); ^{13}C -NMR (100 MHz, DMSO- d_6) δ : 164.5 (C-2), 103.0 (C-3), 181.8 (C-4), 161.1 (C-5), 99.5 (C-6), 162.9 (C-7), 94.7 (C-8), 156.9 (C-9), 105.3 (C-10), 120.9 (C-1'), 113.3 (C-2'), 145.9 (C-3'), 150.5 (C-4'), 115.9 (C-5'), 119.2 (C-6'), 99.9 (C-1''), 73.1 (C-2''), 76.4 (C-3''), 70.8 (C-4''), 82.0 (C-5''), 60.6 (C-6'')_{''}。以上数据与文献报道基本一致^[20], 故鉴定化合物 9 为木犀草素 7-O- β -D-葡萄糖苷。

化合物 10: 黄色无定形粉末(甲醇); ESI-MS 在 m/z 447 处给出 $[M-H]^-$ 峰, 在 m/z 357 处给出 $[M-H-90]^-$ 峰, m/z 327 处给出 $[M-H-120]^-$ 峰, 提示该化合物为一个碳苷, 结合 1H -NMR、 ^{13}C -NMR 确定其分子式为 $C_{21}H_{20}O_{11}$ 。 1H -NMR (400 MHz, DMSO- d_6) δ : 7.52 (1H, d, $J=7.6$ Hz, H-6'), 7.46 (1H, br s, H-2'), 6.85 (1H, d, $J=7.6$ Hz, H-5'), 6.62 (1H, s, H-3), 6.24 (1H, s, H-6), 4.68 (1H, d, $J=9.2$ Hz, H-1''), 3.14~3.86 (6H, Sugar-H); ^{13}C -NMR (100 MHz, DMSO- d_6) δ : 164.0 (C-2), 102.3 (C-3), 181.9 (C-4), 160.4 (C-5), 98.2 (C-6), 163.0 (C-7), 104.6 (C-8), 156.0 (C-9), 103.9 (C-10), 121.8 (C-1'), 114.0 (C-2''), 145.9 (C-3''), 149.8 (C-4''), 115.7 (C-5''), 119.3 (C-6''), 73.4 (C-1''), 70.8 (C-2''), 78.8 (C-3''), 70.8 (C-4''), 82.0 (C-5''), 61.6 (C-6'')_{''}。以上数据与文献报道一致^[21], 故鉴定化合物 10 为木犀草素 8-C- β -D-葡萄糖苷。

化合物 11: 浅黄色无定形粉末(甲醇), ESI-MS 在 m/z 241 处显示 $[M-H]^-$ 峰, 结合 1H -NMR、 ^{13}C -NMR 确定其分子式为 $C_{15}H_{14}O_3$ 。 1H -NMR (400 MHz, DMSO- d_6) δ : 7.27~7.28 (4H, overlap, H-2, 3, 5, 6), 7.76 (1H, d, $J=8.8$ Hz, H-6'), 7.18 (1H, dd, $J=4.0, 8.4$ Hz, H-4), 6.31 (1H, dd, $J=2.0, 8.8$ Hz, H-5'), 6.18 (1H, d, $J=2.0$ Hz, H-3'), 3.27 (2H, t, $J=7.6$ Hz, H- α), 2.92 (2H, t, $J=7.6$ Hz, H- β); ^{13}C -NMR (100 MHz, DMSO- d_6) δ : 141.0 (C-1), 128.2 (C-2), 128.3 (C-3), 125.8 (C-4), 128.3 (C-5), 128.2 (C-6), 38.9

(C- α), 29.8 (C- β), 203.0 (C=O), 111.9 (C-1'), 164.3 (C-2'), 102.4 (C-3'), 164.3 (C-4'), 108.6 (C-5'), 132.8 (C-6')_{''}。以上数据与文献报道基本一致^[22], 故鉴定化合物 11 为 2',4'-二羟基二氢查耳酮。

化合物 12: 浅黄色粉末(甲醇), ESI-MS 在 m/z 287 处给出 $[M-H]^-$ 峰, 结合 1H -NMR、 ^{13}C -NMR 确定其分子式为 $C_{12}H_6O_8$ 。 1H -NMR (400 MHz, DMSO- d_6) δ : 8.13 (1H, d, $J=5.6$ Hz, H-6), 6.43 (1H, d, $J=5.6$ Hz, H-5), 2.37 (3H, s, -CH₃), 4.74 (1H, d, $J=7.2$ Hz, H-1'), 3.62~3.66 (1H, m, H_a-6'), 3.40~3.45 (1H, m, H_b-6'), 3.01~3.20 (4H, m, H-2'-H-5'); ^{13}C -NMR (100 MHz, DMSO- d_6) δ : 161.30 (C-2), 141.8 (C-3), 174.2 (C-4), 116.2 (C-5), 155.7 (C-6), 103.6 (C-1''), 73.9 (C-2''), 76.35 (C-3''), 69.6 (C-4''), 77.3 (C-5''), 60.9 (C-6''), 15.2 (-CH₃)_{''}。以上数据与文献报道基本一致^[23], 故鉴定化合物 12 为麦芽酚 3-O- β -D-葡萄糖苷。其 1H -NMR、 ^{13}C -NMR 数据根据 COSY、HSQC 及 HMBC 等二维核磁共振谱予以归属。

化合物 13: 白色片状结晶(丙酮), Liebermann-Burchard 反应阳性。 1H -NMR (500 MHz, CD₃OCD₃) δ : 0.72 (3H, s, H-18), 1.05 (3H, s, H-19), 0.95 (3H, d, $J=6.5$ Hz, H-21), 0.84 (3H, overlap, H-27), 0.83 (3H, overlap, H-26), 0.85 (3H, overlap, H-29); ^{13}C -NMR (125 MHz, CD₃OCD₃) δ : 38.2 (C-1), 32.5 (C-2), 71.7 (C-3), 42.3 (C-4), 142.4 (C-5), 121.5 (C-6), 32.6 (C-7), 32.8 (C-8), 51.2 (C-9), 37.3 (C-10), 21.8 (C-11), 40.6 (C-12), 43.1 (C-13), 57.7 (C-14), 24.9 (C-15), 28.9 (C-16), 56.9 (C-17), 12.3 (C-18), 20.0 (C-19), 36.9 (C-20), 19.2 (C-21), 34.7 (C-22), 26.9 (C-23), 46.7 (C-24), 29.3 (C-25), 19.3 (C-26), 19.7 (C-27), 23.8 (C-28), 12.2 (C-29)。以上数据与文献报道基本一致^[24], 故鉴定化合物 13 为 β -谷甾醇。

化合物 14: 白色粉末(甲醇), Liebermann-Burchard 反应呈阳性, 与 β -胡萝卜苷对照品共薄层具有相同的 Rf 值, 且与 β -胡萝卜苷对照品混合点样展开为一个点, 故鉴定化合物 14 为 β -胡萝卜苷。

参考文献

- [1] 中国药典 [S]. 一部. 2005.
- [2] Wong R W, Rabie B, Bendeus M, et al. The effects of *Rhizoma Curculiginis* and *Rhizoma Drynariae* extracts on bones [J]. Chin Med, 2007, 19(2): 13-19.

- [3] Wong R W, Rabie A B. Systemic effect of crude extract from rhizome of *Drynaria fortunei* on bone formation in mice [J]. *Phytother Res*, 2006, 20(4): 313-315.
- [4] 孙庆顺, 李慕勤, 刘正. 骨碎补复合材料对牙槽骨缺损修复的实验研究 [J]. 黑龙江医药科学, 2009, 32(4): 11-12.
- [5] 汪伟光, 曹永国, 付立卓, 等. 碎米花杜鹃的化学成分及其对小鼠免疫细胞影响的研究 [J]. 中草药, 2010, 41(1): 19-23.
- [6] 周铜水, 周荣汉. 榧蕨根茎脂溶性成分的研究 [J]. 中草药, 1994, 25(4): 175-178.
- [7] Wang X L, Wang N L, Zhang Y, et al. Effects of eleven flavonoids from the osteoprotective fraction of *Drynaria fortunei* (Kunze) J. Sm. on osteoblastic proliferation using an osteoblast-like cell line [J]. *Chem Pharm Bull*, 2008, 56(1): 46-51.
- [8] Li F, Meng F, Xiong Z, et al. Stimulative activity of *Drynaria fortunei* (Kunze) J. Sm. extracts and two of its flavonoids on the proliferation of osteoblastic like cells [J]. *Pharmazie*, 2006, 61(11): 962-965.
- [9] 吴新安, 赵毅民. 骨碎补化学成分研究 [J]. 中国中药杂志, 2005, 30(6): 443-444.
- [10] 高颖, 王新峦, 王乃利, 等. 骨碎补中的化学成分 [J]. 中国药物化学杂志, 2008, 18(4): 284-287.
- [11] 王新峦, 王乃利, 黄文秀, 等. 骨碎补中的苯丙素类成分及其对 UMR 106 细胞增殖作用的影响 [J]. 沈阳药科大学学报, 2008, 25(1): 24-29.
- [12] Jiang J S, Feng Z M, Wang Y H, et al. New phenolics from the roots of *Symplocos caudata* WALL [J]. *Chem Pharm Bull*, 2005, 53(1): 110-113.
- [13] Rezende K R, Kato M J. Dibenzylbutane and aryl-tetralone lignans from seeds of *Virola sebifera* [J]. *Phytochemistry*, 2002, 61(4): 427-432.
- [14] Shoeib M, Jaspars M, MacManus S M, et al. Epoxylignans from the seeds of *Centaurea cyanus* (Asteraceae) [J]. *Biochem Syst Ecol*, 2004, 32(12): 1201-1204.
- [15] Yuan Z, Tezuka Y, Fan W, et al. Constituents of the underground parts of *Glehnia littoralis* [J]. *Chem Pharm Bull*, 2002, 50(1): 73-77.
- [16] Moretti C, Sauvain M, Lavaud C, et al. A novel anti-protozoal aminosteroid from *saracha punctata* [J]. *J Nat Prod*, 1998, 61(11): 1390-1393.
- [17] Wagner H, Chari V M, Sonnenbichler J. Carbon-13 NMR spectra of naturally occurring flavonoids [J]. *Tetrahedron Lett*, 1976, 17(21): 1799-1802.
- [18] Roemmelt S, Zimmermann N, Rademacher W, et al. Formation of novel flavonoids in apple (*Malus×domestica*) treated with the 2-oxoglutarate-dependent dioxygenase inhibitor prohexadione-Ca [J]. *Phytochemistry*, 2003, 64(3): 709-716.
- [19] 刘莹, 李喜凤, 刘艾林, 等. 细皱香薷叶的化学成分研究 [J]. 中草药, 2009, 40(9): 1356-1359.
- [20] Shi S Y, Zhao Y, Zhou H H, et al. Identification of antioxidants from *Taraxacum mongolicum* by high-performance liquid chromatography-diode array detection-radical-scavenging detection-electrospray ionization mass spectrometry and nuclear magnetic resonance experiments [J]. *J Chromatogr A*, 2008, 1209(1-2): 145-152.
- [21] Wang R F, Yang X W, Ma C M, et al. Trollioside, a new compound from the flowers of *Trollius chinensis* [J]. *J Asian Nat Pro Res*, 2004, 6(2): 139-144.
- [22] 确生, 张岩松, 赵玉英. 藏药镰形棘豆的化学成分研究 [J]. 中草药, 2007, 38(10): 1458-1460.
- [23] Yayli N, Seymen H, Baltaci C. Flavone C-glycosides from *Scleranthus uncinatus* [J]. *Phytochemistry*, 2001, 58(4): 607-610.
- [24] Kovganko N V, Kashkan Z N, Borisov E V. ^{13}C -NMR spectra of functionally substituted 3- β -chloroderivatives of cholesterol and β -sitosterol [J]. *Chem Nat Compd*, 2001, 36(6): 595-598.